

## ИНКЛЮЗИВНЫЕ ЭНЕРГЕТИЧЕСКИЕ СПЕКТРЫ ЛЕГКИХ ЗАРЯЖЕННЫХ ЧАСТИЦ ( $p$ , $d$ , $t$ , $^4\text{He}$ ) В СПОНТАННОМ ДЕЛЕНИИ $^{248}\text{Cm}$

И.В.Кузнецов, М.П.Иванов, В.Ф.Кушнирук,  
Ю.Г.Соболев, Г.В.Букланов

С помощью полупроводникового ( $dE-E$ )-телескопа измерены инклюзивные энергетические спектры частиц ( $p$ ,  $d$ ,  $t$ ,  $^4\text{He}$ ) в спонтанном делении  $^{248}\text{Cm}$ . Наиболее вероятные энергии и ширины энергетических распределений, в пределах экспериментальных ошибок, совпадают с имеющейся совокупностью данных для широкого круга ядер, испытывающих низкоэнергетическое деление. Измеренная относительная вероятность эмиссии длиннопробежных  $\alpha$ -частиц согласуется с наблюдаемой зависимостью вероятности тройного спонтанного деления от параметра  $Z^2/A$  делящегося ядра для нуклидов с  $Z \geq 96$ . В спектре протонов наблюдается низкоэнергетическая компонента  $E_p \leq 4$  МэВ, которая не может быть объяснена вкладом только от фоновых реакций ( $n, p$ ) и ( $\alpha, p$ ).

Работа выполнена в Лаборатории ядерных реакций им.Г.Н.Флерова ОИЯИ.

The Inclusive Energy Spectra of Light Charged  
Particles ( $p$ ,  $d$ ,  $t$ ,  $^4\text{He}$ ) from Spontaneous Fission of  $^{248}\text{Cm}$

I.V.Kuznetzov et al.

A semiconductor  $dE-E$  telescope was used to measure the inclusive energy spectra of light  $p$ ,  $d$ ,  $t$ ,  $^4\text{He}$  particles from spontaneous fission of  $^{248}\text{Cm}$ . The most probable energies and the widths of the energy distributions of particles within the limits of experimental errors are consistent with available data for a wide range of nuclei undergoing low fission processes. The measured relative probability of the long range  $\alpha$ -particle emission is consistent with the observed dependence of the ternary spontaneous fission probability on the parameter  $Z^2/A$  of the fissioning nucleus for the nuclides with  $Z \geq 96$ . The proton energy spectra have a low-energy component with  $E_p \leq 4$  MeV which cannot be explained as a contribution of the background ( $n, p$ ) and ( $\alpha, p$ ) reactions.

The investigation has been performed at the Flerov Laboratory of Nuclear Reactions, JINR.

Относительно редкие моды низкоэнергетического или спонтанного деления тяжелых ядер, в которых испускаются легкие заряженные частицы, являются предметом интенсивного экспериментального и теоре-

тического исследования с момента их открытия, поскольку представляют значительный интерес как для процесса деления, так и для теории ядерной материи в целом.

Сведения о результатах экспериментальных и теоретических исследований в этой области можно найти в обзорных работах [1—5].

К настоящему времени установлено, что энергетические спектры легких заряженных частиц (за исключением протонов) хорошо аппроксимируются гауссианами, наиболее вероятные энергии и ширины энергетических распределений частиц слабо зависят от параметра делимости  $Z^2/A$  в широком диапазоне зарядовых и массовых чисел  $Z$  и  $A$  делящихся ядер. С наибольшей вероятностью заряженные частицы вылетают почти перпендикулярно к оси разлета осколков деления. В экспериментах наблюдается повышенная вероятность ( $\cong 25\%$ ) тройного спонтанного деления по сравнению с тройным делением под действием нейтронов или  $\gamma$ -квантов. Существующие теоретические модели испытывают трудности при попытках объяснить повышенную вероятность тройного спонтанного деления. В связи с этим представляет интерес расширение круга ядер, испытывающих тройное спонтанное деление, с целью изучения зависимости процесса эмиссии заряженных частиц от массы и заряда делящихся ядер. В данной работе впервые измерены инклузивные энергетические спектры легких заряженных частиц ( $p, d, t, \alpha$ ), сопровождающих спонтанное деление  $^{248}\text{Cm}$ , и относительная вероятность тройного спонтанного деления этого нуклида.

Идентификация и измерение энергии заряженных частиц проводились с помощью ( $\Delta E - E$ )-телескопа, состоящего из тонкого кремниевого поверхностью-барьерного  $\Delta E$ -детектора (30 или 500 мкм) и толстого (4 мм)  $\text{Si}(\text{Li})E$ -детектора. Обогащенный источник  $^{248}\text{Cm}$  (96%) интенсивностью  $Y \cong 2 \cdot 10^3$  дел./с., нанесенный на тонкую титановую подложку, размещался на расстоянии 7 мм от телескопа, закрытого tantalовой фольгой толщиной 19 мг/см<sup>2</sup>, достаточной для поглощения  $\alpha$ -частиц естественного  $\alpha$ -распада изотопов См. Электронная система сбора информации представлена на рис.1а. Разрешение на запись события поступало от блока ВАП в случае совпадений логических сигналов временных отметок  $dE$ - и  $E$ -трактов в диапазоне 0,5 мкс.

Последующий «off-line» анализ производился при условии совпадений временных сигналов в интервале  $\Delta t \cong 30$  нс. Энергетические спектры частиц получались путем суммирования оцифрованных сигналов от  $dE$ - и  $E$ -детекторов в соответствующих областях в двумерной « $dE-E$ -матрице» (см. рис.1б) с учетом энергетических потерь частиц в поглотительных фольгах.

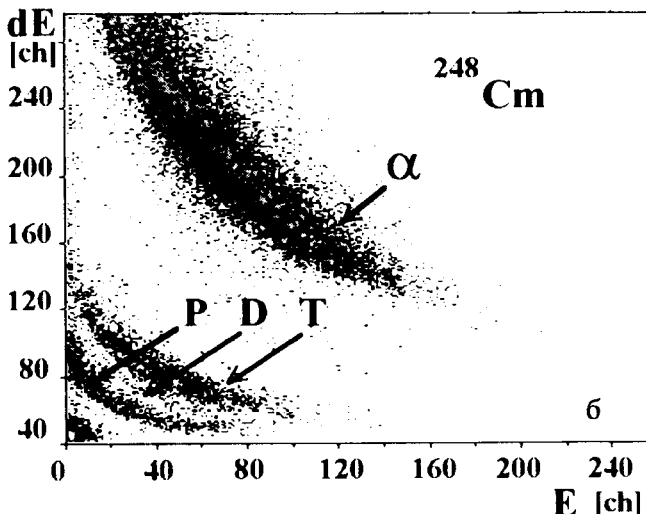
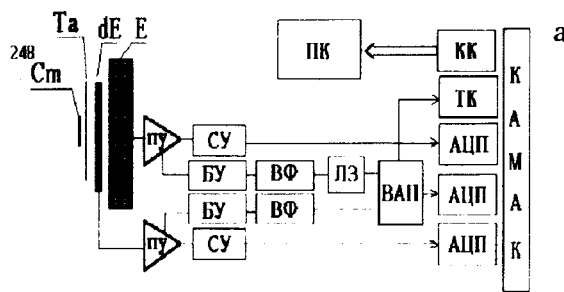


Рис.1. а) блок-схема электронной системы сбора информации, б) ( $dE-E$ )-матрица частиц  $p, d, t, {}^4\text{He}$

На рис.2 приведены спектры частиц  $p, d, t, {}^4\text{He}$ , измеренные в одной экспозиции. Гладкой кривой приведены результаты  $\chi^2$ -аппроксимации спектров гауссианами. Из рис.2 видно, что экспериментальные спектры  $d$ -,  $t$ -,  ${}^4\text{He}$ -частиц хорошо описываются распределением Гаусса, а спектр протонов имеет сложную структуру. Подобная форма спектра протонов наблюдалась также в спонтанном делении  ${}^{252}\text{Cf}$  [6, 7]. Низкоэнергетическая компонента спектра протонов в указанных работах была отнесена к фоновым ( $n, p$ )- и ( $\alpha, p$ )-реакциям на примесях материала поглотителей, источника и детекторов. Однако в работе [8] выход низкоэнергетических протонов в спонтанном делении  ${}^{252}\text{Cf}$  авторы не смогли объяснить за счет фоновых реакций. Энергетический спектр протонов в области энергий  $E_p \geq 4$  МэВ нами, так же, как и авторами работ [6, 7],

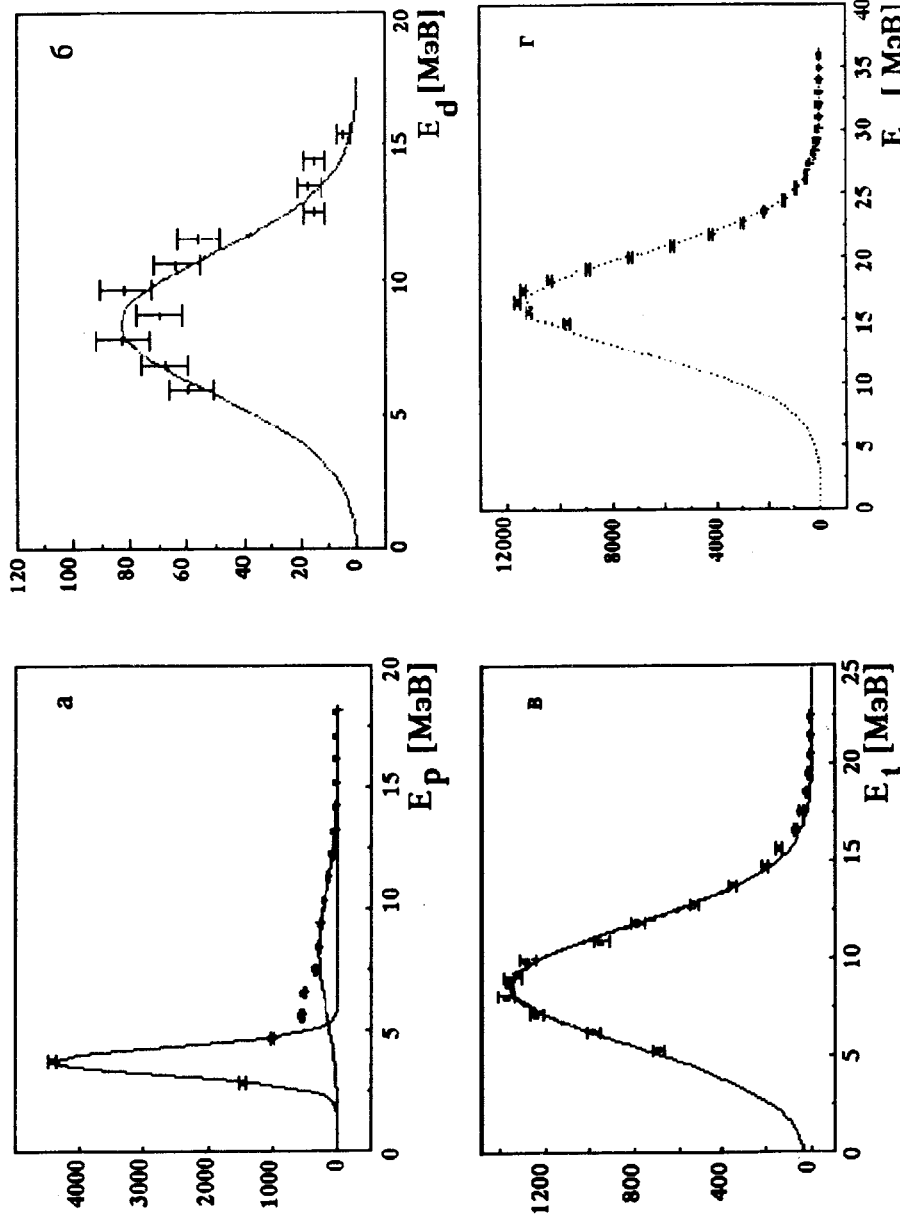


Рис.2. Энергетические спектры частиц  $p, d, t, {}^4\text{He}$

фитировался гауссианом и был отнесен к протонам, связанными с тройным делением.

В таблице приведены полученные из измеренных спектров наиболее вероятные энергии, ширины энергетических распределений и относительные экстраполированные выходы легких заряженых частиц в сравнении с известными характеристиками частиц, сопровождающих спонтанное деление  $^{252}\text{Cf}$ . Из таблицы видно, что параметры, описывающие энергетические характеристики частиц для деления  $^{248}\text{Cm}$  и  $^{252}\text{Cf}$ , в пределах экспериментальных ошибок, совпадают. На основании этого наблюдения можно предположить, что тройное спонтанное деление  $^{248}\text{Cm}$  характеризуется теми же закономерностями, которые присущи тройному спонтанному делению  $^{252}\text{Cf}$  и другим ядрам, испытывающим низкоэнергетическое тройное деление. Для измерения относительной вероятности эмиссии  $^4\text{He}$  в тройном делении  $^{248}\text{Cm}$  и  $^{252}\text{Cf}$  сначала измерялся выход осколков деления с помощью  $dE$ -детектора телескопа, а затем, после установки tantalовой фольги, выход  $\alpha$ -частиц. Отношение выхода  $^4\text{He}$  к двойному делению, усредненное по нескольким измерениям, составило  $2,0 \pm 0,3$  и  $3,0 \pm 0,3$  для  $^{248}\text{Cm}$  и  $^{252}\text{Cf}$  соответственно. На рис.3 приведены результаты наших измерений (от-

Таблица. Параметры энергетических спектров и выходы легких ядер

Частица	Измер.диапазон энергии, МэВ	Наиболее вероятн. энергия, МэВ	ПШПМ, МэВ	Экстрапол. выход на $10^4\text{He}$	Лит.
---------	-----------------------------	--------------------------------	-----------	-------------------------------------	------

$^{248}\text{Cm}$

$^1\text{H}$	8,5—18,2	$8,3 \pm 0,5$	$5,7 \pm 0,5$	$160 \pm 20$	*)
$^2\text{H}$	6,2—15,5	$8,4 \pm 0,5$	$6,2 \pm 0,6$	$50 \pm 5$	*)
$^3\text{H}$	5,2—22,5	$8,7 \pm 0,3$	$8,0 \pm 0,2$	$922 \pm 18$	*)
$^4\text{He}$	14,8—36,0	$16,4 \pm 0,2$	$9,5 \pm 0,3$	$10^4$	*)

\*) — результаты настоящей работы

$^{252}\text{Cf}$

$^1\text{H}$	7,3—18,8	$7,8 \pm 0,8$	$6,8 \pm 0,8$	$175 \pm 30$	[6]
$^2\text{H}$	5,3—21,5	$8,0 \pm 0,5$	$7,2 \pm 0,7$	$68 \pm 3$	[8]
$^3\text{H}$	4,0—20,0	$8,3 \pm 0,1$	$7,0 \pm 0,1$	$836 \pm 12$	[10]
$^4\text{He}$	8,3—37,3	$16,0 \pm 0,2$	$9,9 \pm 0,7$	$10^4$	[6]
$^4\text{He}$	8,0—28,0	$15,8 \pm 0,1$	$10,2 \pm 0,1$	$10^4$	[10]

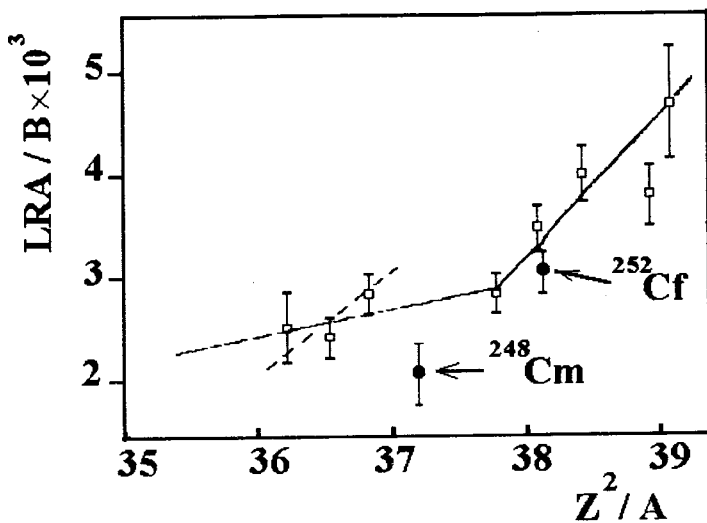


Рис.3. Вероятность эмиссии  ${}^4\text{He}$  в зависимости от  $Z^2/A$

меченные заполненными кружками) совместно с известными [9] данными по зависимости относительной вероятности эмиссии  $\alpha$ -частиц от величины параметра  $Z^2/A$  делящегося ядра. Сравнение данных настоящей работы с литературными показывает, что крутой спад относительной вероятности тройного спонтанного деления сохраняется вплоть до величины параметра делимости  $Z^2/A \approx 37$ .

Для выяснения природы низкоэнергетической части протонного спектра были проведены дополнительные опыты:

Влияние  $(n,p)$ -реакций, вызываемых нейтронами деления в танталовой фольге и материале детекторов, исследовалось в эксперименте, в котором между источником  ${}^{248}\text{Cm}$  и телескопом помещался танталовый поглотитель толщиной  $\approx 1300 \text{ мг}/\text{см}^2$ , останавливающий протоны с энергией  $E_p \leq 25 \text{ МэВ}$  и  $\alpha$ -частицы с  $E_\alpha \leq 90 \text{ МэВ}$ . В результате измерения было установлено, что верхняя граница вклада в низкоэнергетическую часть спектра протонов от  $(n,p)$ -реакций, вызываемых нейтронами деления, составила не более 10%.

С целью выяснения вклада протонов отдачи от  $\alpha$ -частиц и осколков деления, непосредственно между источником  ${}^{248}\text{Cm}$  и поглотительной фольгой ( $19 \text{ мг}/\text{см}^2$ ) помещалась майларовая фольга, содержащая  $\approx 10^{18} \text{ см}^{-2}$  атомов водорода. В результате измерения было установлено, что вклад протонов отдачи от упругого рассеяния  $\alpha$ -частиц и оскол-

ков деления на водородосодержащих примесях в мишени и tantalовой фольге принебрежимо мал.

Таким образом, дополнительные опыты показали, что выход низкоэнергетических протонов невозможно объяснить только за счет фоновых реакций.

Для дальнейшего исследования механизма эмиссии низкоэнергетических протонов в спонтанном делении целесообразно провести эксперименты с более низким энергетическим порогом регистрации протонов в совпадении с осколками деления.

Авторы благодарны Ю.Э.Пенионжкевичу за постоянную поддержку при проведении настоящей работы, Б.И.Пустыльнику и Ю.В.Пяткову за полезные обсуждения, Э.М.Козулину и Ю.В.Лобанову за помощь в работе.

### Литература

1. Перфилов Н.А. — Романов Н.Ф., Соловьев Э.И. — УФН, 1961, т.71, № 3, с.200.
2. Hyde E.K., — In: The Nuclear Properties of Heavy Elements, vol.III, Prentice-Hall, Englewood Cliffs. N.G., 1964, p.131.
3. Halpern I. — Ann. Rev. Nucl. Sci., 1971, vol.21, p.245.
4. Гусев Ю.И., Селиверстов Д.М. — Материалы 25 Зимней школы ЛИЯФ 1990, Л.: ЛИЯФ, 1990, с.35.
5. Theobald J. — In: School-Seminar on Heavy Ion Physics, JINR, 7-93-274, Dubna, vol.1, p.262.
6. Cosper S.W., Cerny J., Gatti R.S. — Phys. Rev., 1967, vol. 154, p.1193.
7. Gavron A., Gazit Y. — Phys. Rev., 1974, vol.10, No.1, p.388.
8. Budzanowski A., Karcz W., Siwek A., Skwiczska I., Wolski R. — Raport IFI N1509/PL, Krakow, 1990.
9. Wagemans C. — In: Proc. Int. Workshop on Dynamical Aspects of Nuclear Fission, JINR, E7-52-95, Dubna, 1992, p.139.
10. Грачев В.Т., Гусев Ю.И., Селиверстов Д.М. — ЯФ, 1988, т.47, вып.3, с.627.

Рукопись поступила 19 июля 1994 года.